

54
A 88

АКАДЕМИЯ НАУК СССР

ИНСТИТУТ ОРГАНИЧЕСКОЙ ХИМИИ имени Н. Д. ЗЕЛИНСКОГО

На правах рукописи

А. Л. ГОФФ

ИССЛЕДОВАНИЕ В ОБЛАСТИ РАДИКАЛЬНОЙ
ПОЛИМЕРИЗАЦИИ ВИНИЛХЛОРИДА И ВИНИЛАЦЕТАТА
ПРИ АТМОСФЕРНОМ И ВЫСОКОМ ДАВЛЕНИЯХ

(072 органическая химия)

АВТОРЕФЕРАТ
ДИССЕРТАЦИИ НА СОБЛЮЩЕНИЕ УЧЕНОЙ СТЕПЕНИ
КАНДИДАТА ХИМИЧЕСКИХ НАУК

Москва — 1968

СК

Работа выполнена в Лаборатории высоких давлений
Института органической химии им. Н. Д. Зелинского АН СССР

Научные руководители: доктор хим. наук, профессор
М. Г. Гоникберг
кандидат хим. наук, ст. научн.
сотр. В. М. Жулин.

Официальные оппоненты: доктор хим. наук
В. А. Пономаренко
канд. хим. наук А. А. Жаров

Ведущее предприятие: Институт элементоорганических
соединений АН СССР.

Просим Вас и сотрудников Вашей организации, интере-
сующихся темой диссертации, прислать свои отзывы и при-
нять участие в заседании Учёного Совета, посвященном за-
щите этой диссертации.

О дне и времени защиты будет сообщено за 10 дней в
газете "Вечерняя Москва".

Ориентировочная дата защиты *март* 1968 г.

С диссертацией можно ознакомиться в научной
библиотеке ИОХ АН СССР (Москва, Ленинский проспект, 47).

Учёный секретарь ИОХ АН СССР
канд. хим. наук

Г. И. Левин (Г. И. Левин)

Центральная научная
БИБЛИОТЕКА
Академии наук Циргизской ССР

54
A88

Поливинилхлорид и поливинилацетат относятся к числу
наиболее широко производимых в мире полимеров. Несмотря на
большое количество работ, посвященных изучению процесса поли-
меризации и свойствам этих полимеров, исследования такого
рода остаются актуальными до настоящего времени. Особенно
большой интерес проявляется в литературе к полимеризации ви-
нилхлорида, полимеры на основе которого составляют наибольшую
по объёму производства группу термопластиков. В частности,
много внимания за последние годы было уделено так называемому
"альдегидному эффекту". Было показано, что при полимеризации
винилхлорида в среде алифатических альдегидов образуется низ-
комолекулярный полимер кристаллического строения. Однако при-
чина кристалличности поливинилхлорида, получаемого в среде
альдегидов, оставалась неясной, несмотря на значительное чис-
ло исследований.

Настоящая работа посвящена изучению этого явления, а
также некоторым другим вопросам, связанным с влиянием давле-
ния на структуру полимеров винилхлорида и винилацетата, так
как известно, что применение высокого давления позволяет
получать ценные сведения о структуре активированного комплек-
са и механизме химических реакций.

Исследование причины кристалличности низкомоле-
кулярного поливинилхлорида

К настоящему времени опубликован ряд работ по исследова-
нию радикальной полимеризации винилхлорида (ВХ) в среде

алифатических альдегидов. Рентгенографически показано, что низкомолекулярный поливинилхлорид (ПВХ), образующийся при мольном соотношении альдегид - ВХ \gg 1, обнаруживает повышенную кристалличность. В результате изучения ПВХ методом ИК-спектроскопии было показано, что для качественной оценки степени кристалличности может служить отношение оптических плотностей поглощения полос при 635 см^{-1} и 693 см^{-1} ($\frac{D_{635}}{D_{693}}$). Рост отношения $\frac{D_{635}}{D_{693}}$ отражает повышение кристалличности ПВХ, связанное (как можно заключить по некоторым литературным данным) с увеличением доли синдиотактических звеньев в кристаллических областях полимера. Так, например, у ПВХ, полученного полимеризацией в блоке, $\frac{D_{635}}{D_{693}} = 1,5$, а у полимера, полученного в среде масляного альдегида (М А), величина этого отношения составляет от 2,8 до 4,7. Ряд авторов объясняют кристалличность ПВХ, полученного в среде альдегидов, его стереорегулярным строением. С другой стороны, Бови и Тиерс при изучении структуры ПВХ методом ЯМР пришли к выводу, что полимер, полученный в среде МА, не обладает повышенной стереорегулярностью.

По их мнению возможной причиной кристалличности указанного полимера является крайне малая разветвленность его макромолекул. Интересная точка зрения по обсуждаемому вопросу была высказана в работе Бекмана. При исследовании полимеризации ВХ в нескольких растворителях он пришел к убеждению, что кристалличность ПВХ определяется только низким молекулярным весом полимера, вне зависимости от растворителя, в котором получен ПВХ. Результаты его работы опровергают мнение

о существовании специфического "альдегидного эффекта". На основании спектров ЯМР, в согласии с работой Бови и Тиерса, Бекман считает, что кристаллический низкомолекулярный ПВХ не обладает повышенной синдиотактичностью. По его мнению отношение $\frac{D_{635}}{D_{693}}$ следует рассматривать как меру кристалличности, не связанную с синдиотактическим строением полимера. Результаты работы Разуваева с соавторами по этому вопросу согласуются с данными Бекмана, однако авторы высказывают предположение, что с понижением молекулярного веса ПВХ происходит повышение его синдиотактичности. Таким образом вопрос о причинах образования кристаллического ПВХ в среде альдегидов оставался неясным и требовал дополнительных исследований.

В диссертации описаны аппаратура и методика исследования полимеризации ВХ и винилацетата при давлениях от атмосферного до 4000 кг/см^2 (некоторые опыты проводились при 6000 и 10000 кг/см^2).

Для выяснения причин кристалличности низкомолекулярного ПВХ представлялось целесообразным разделить полимер, полученный при атмосферном давлении и 4000 кг/см^2 , на несколько фракций. Результаты некоторых таких опытов приведены в таблице № I.

Рассмотрение таблицы № I позволяет сделать следующие заключения:

1) По данным ИКС, кристалличность нефракционированных образцов ПВХ растет при уменьшении степени полимеризации,

Таблица № I

Фракционирование ПЭХ, полученного в среде МА при мольном соотношении $\frac{ВХ}{МА} = 1$, при 50° , инициатор - динитрил азобисмасляной кислоты /ДАК/ 0,33 вес.% от ВХ

Давление кг/см ²	Растворитель	№ фракции	Растворитель:осадитель (станд.) объемные доли	Выход фракции % вес.	$\frac{D_{635}}{D_{693}}$	\bar{P}_n
атмосферное	Нитрогексанон	нефракционированный	I : 20	-	1,95	132 ^X
			I : 20	-	1,95	77 ^X
			I : 20	-	1,95	55 ^X
		нефракц. 1	I : 20	-	2,83	27
			I : 2	43,8	4,34	50
			I : 10	18,5	2,81	24
	нефракц. 2	I : 20	-	2,83	27	
		I : 3	45,6	3,36	48	
		I : 10	10,8	2,29	-	
	Тетрагидрофуран	нефракц. 1	I : 20	-	3,0	31
			I : 1	54,1	4,32	36
			I : 2,5	26,1	3,0	24
нефракц. 2	I : 10	11,2	1,99	29		
	атмосферное	нефракц. 2	I : 20	-	1,93	35
			I : 7	18,9	1,78	35
4000	Тетрагидрофуран	нефракц. 1	I : 20	-	2,0	40
			I : 2	38,1	3,05	45
			I : 3,3	11,6	2,12	41
нефракц. 2	I : 8	2,3	1,8	33		

X Образцы полимера с \bar{P}_n 132, 77 и 55 получены при величине $\frac{МА}{ВХ}$ равной 0,1; 0,2 и 0,4 соответственно.

начинала со значения $\bar{P}_n \sim 50$. Эти результаты хорошо согласуются с данными работы Бекмана.

2) Максимальную кристалличность у образцов ПЭХ, полученных при атмосферном давлении и 4000 кг/см^2 , обнаруживают первые фракции.

3) Кристалличность первой фракции у ПЭХ, полученного при атмосферном давлении, гораздо выше, чем у ПЭХ, полученного при 4000 кг/см^2 . Этот вывод подтверждается также данными рентгенографического анализа.

4) Наиболее кристаллические фракции образцов ПЭХ, полученного при атмосферном давлении и 4000 кг/см^2 , обладают большим молекулярным весом по сравнению с последующими фракциями.

Таким образом, мы приходим к выводу, что низкомолекулярный ПЭХ содержит как аморфную, так и кристаллическую фракции. Молекулярный вес кристаллической фракции невозможно точно определить, так как при фракционировании она выпадает в первую очередь вместе с более высокомолекулярной частью полимера. Нами было обнаружено также, что с понижением среднего молекулярного веса выделенного полимера доля кристаллической фракции ПЭХ значительно увеличивается. Так, например, у полимера с $\bar{P}_n \sim 30$ она составляет около 50%, а у полимера с $\bar{P}_n \sim 55$ доля кристаллической фракции ниже 10%. Причину этого явления можно понять, принимая во внимание следующее обстоятельство. Вполне резонно допустить, что при радикальной полимеризации ВХ образуются полимеры с одинаковыми или, во всяком случае, близким содержанием кристаллической фракции, независимо от величины молекулярного веса ПЭХ. У высокомолекулярного полимера

низкомолекулярная часть его, уходящая в раствор при пересадении, составляет незначительную долю от общего количества выделенного полимера. По мере понижения среднего молекулярного веса, особенно начиная с $\bar{P}_n \sim 50$, доля низкомолекулярной части, уходящей в раствор, возрастает. Аморфная часть полимера более растворима, чем кристаллическая; следовательно, при выделении ПВХ низкого молекулярного веса путём пересадения фактически происходит фракционирование, приводящее к обогащению выделенного ПВХ кристаллической частью полимера.^{х)}

Таким образом, наблюдаемое повышение кристалличности ПВХ с понижением среднего молекулярного веса создает впечатление, что кристалличность полимера зависит от его среднего молекулярного веса. В действительности, как это следует из вышеизложенного, при низком молекулярном весе ПВХ появляется возможность более полного выделения кристаллической фракции при осаждении полимера. Высказанные выше соображения хорошо объясняют результаты исследования кристалличности ПВХ, полученного в среде ТГФ при различных значениях мольного отношения $\frac{\text{ТГФ}}{\text{ВХ}}$.

На рис. I приведена зависимость отношения $\frac{D_{635}}{D_{693}}$ от мольного отношения $\frac{\text{ТГФ}}{\text{ВХ}}$ для образцов ПВХ, приготовленных при атмосферном давлении и 4000 кг/см^2 при полимеризации ВХ в ТГФ. Полученные результаты свидетельствуют о линейной зависимости кристалличности ПВХ от величины отношения $\frac{\text{ТГФ}}{\text{ВХ}}$ и показывают, что под давлением также можно получить кристаллический

х) Так, например, мы нашли, что при \bar{P}_n выделенного полимера, равной 30, количество полимера, оставшегося в растворе, значительно (\sim в 3 раза) превышает количество нерастворившегося ПВХ.

ПВХ при условии достаточно высокого отношения $\frac{\text{ТГФ}}{\text{ВХ}}$. Взаимосвязь между степенью полимеризации и степенью кристалличности ПВХ отображена на рис. 2, при рассмотрении которого видно, что:

- 1) кристалличность ПВХ возрастает с понижением средней степени полимеризации ПВХ.
- 2) Существенное увеличение кристалличности происходит при практически одинаковых средних степенях полимеризации ПВХ ($\bar{P}_n = 28 \div 24$). Последнее обстоятельство можно объяснить следующим образом. С увеличением отношения $\frac{\text{ТГФ}}{\text{ВХ}}$ все большая часть низкомолекулярного ПВХ уходит в раствор при пересадении. Поэтому увеличение кристалличности ПВХ, полученного при высоких значениях $\frac{\text{ТГФ}}{\text{ВХ}}$, очевидно, связано, главным образом, с увеличением доли кристаллической фракции, ответственной за кристалличность полимера в целом. Этот вывод согласуется с результатами, приведенными в табл. I.

Таким образом в свете настоящего исследования становятся понятными некоторые ранее не находившие объяснения данные, приведенные в литературе. Так, например, по литературным данным, величины $\frac{D_{635}}{D_{693}}$ для ПВХ, полученного в одинаковых условиях (в среде масляного альдегида) существенно различаются (от 2,8 до 4,7). Это, возможно, связано с тем, что различные авторы при выделении полимера использовали разные количества осадителя. Далее, в одной из работ было показано, что с увеличением отношения $\frac{\text{МА}}{\text{ВХ}}$ от 1 до 10 происходит незначительное увеличение кристалличности ПВХ. Последнее обстоятельство можно

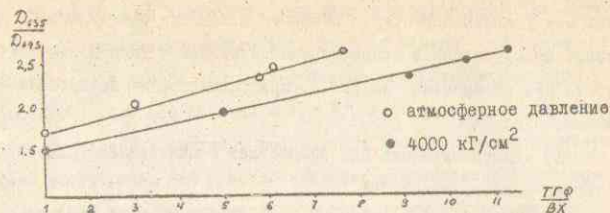


Рис.1. Зависимость меры кристалличности ПВХ

от мольного отношения $\frac{ГГФ}{ВХ}$

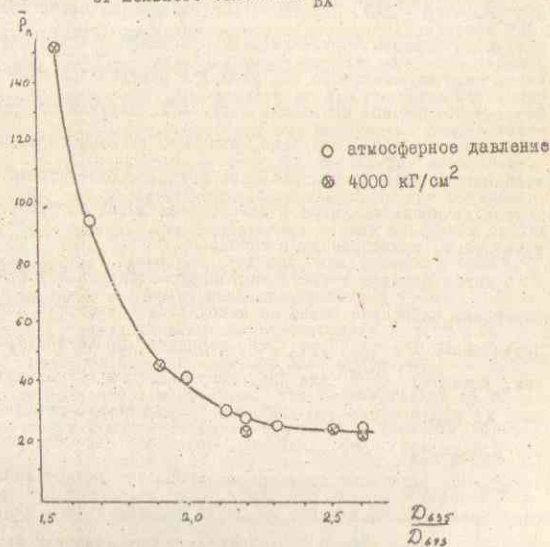


Рис.2. Зависимость между \bar{P}_n и $\frac{D_{135}}{D_{1428}}$

объяснить тем, что уже при отношении $\frac{МА}{ВХ} = 1$ выделенный полимер был в значительной степени освобожден от аморфной части ПВХ.

Исследование связи между кристалличностью и стереорегулярностью низкомолекулярного ПВХ

Представляло интерес выяснить, в какой степени стереорегулярен кристаллический ПВХ, поскольку по этому вопросу в литературе имеются противоречивые мнения. Спектроскопический метод Гермара с соавторами позволяет оценить абсолютную степень синдиотактичности ПВХ; для этого необходимо измерить температурную зависимость отношения оптических плотностей полос поглощения при 1434 см⁻¹ и 1428 см⁻¹ ($\lambda = \frac{D_{1434}}{D_{1428}}$) в растворе ПВХ в симм.тетрахлорэтано. В основе этого метода лежит рассмотрение четырех возможных конформаций цепи (-СНС-СН₂-СНС-) в ближайшем окружении СН₂-группы. Две возможные конформации l_1 и l_2 изотактической цепи ПВХ энергетически эквивалентны: $l_1 = l_2 = l$. Деформационным колебаниям СН₂-группы для них в ИК-спектре соответствует полоса 1434 см⁻¹. Две возможные конформации синдиотактической цепи s_1 и s_2 имеют различную энергию (по оценке Фордхэма, потенциальная энергия конформации s_2 на 1,8 - 2,8 ккал/моль больше, чем энергия конформации s_1). Деформационным колебаниям СН₂-группы для них соответствуют разные полосы поглощения в ИК-спектре: 1434 см⁻¹ для s_2 и 1428 см⁻¹ для s_1 . Физический смысл отношения $\frac{D_{1434}}{D_{1428}}$ отражает равенство:

$$\frac{D_{1424}}{D_{1420}} = \frac{N_{S_2} + N_i}{N_{S_1}} \quad (1)$$

где N_{S_1} , N_{S_2} и N_i - доли CH_2 -групп в конформациях S_1 , S_2 и i . Степень синдиотактичности (α) определяется, по Гермару, из следующего выражения:

$$\alpha = \frac{1 + e^{-\frac{\Delta E}{RT}}}{1 + \lambda} \quad (2)$$

где ΔE - разница в энергиях между двумя синдио-конформациями, которая может быть вычислена по уравнению (3) из отношения величин λ_1 и λ_2 , измеренных при T_1 и T_2

$$\frac{\lambda_1 + 1}{\lambda_2 + 1} = \frac{1 + e^{-\frac{\Delta E}{RT_1}}}{1 + e^{-\frac{\Delta E}{RT_2}}} \quad (3)$$

Величины N_{S_1} , N_{S_2} и N_i определяются по формулам:

$$N_{S_1} = \alpha N \frac{e^{-\frac{\Delta E}{RT}}}{1 + e^{-\frac{\Delta E}{RT}}}; \quad N_{S_2} = \alpha N \frac{1}{1 + e^{-\frac{\Delta E}{RT}}}; \quad N_i = (1 - \alpha) N,$$

где N - общее число CH_2 - звеньев.

Используя метод Гермара, мы определили α для ПЭХ, полученного в среде МА.

Соответствующие величины α приведены в таблице № 2.

Данные таблицы № 2 показывают, что кристалличность низкомолекулярного ПЭХ обусловлена синдиотактическим строением полимера. Следовательно, полученные результаты опровергают вывод об атактическом строении ПЭХ, полученного в среде МА, сделанный на основании спектров ЯМР. Это, вероятно, обусловлено тем, что до сих пор в литературе нет единой точки зрения в интерпретации спектров ЯМР для ПЭХ. Так, например, Бови и

Таблица № 2

Полимеризация ВХ в МА при 50°, ДАК - 0,33% от веса ВХ

№	Давление кг/см ²	$\frac{M_n}{M_w}$ ВХ моляр.	\bar{P}_n	$\frac{D_{635}}{D_{693}}$	λ_1 (28°)	λ_2 (90°)	$\frac{\Delta E}{\text{ккал}} / \text{моль}$	α %	S_1 %	S_2 %	i %
1	атмосферн.	0,1	132	1,35	0,904	0,936	2500	58,6	52,4	1,2	46,4
2	"	I	28	2,8	0,732	0,800	1550	62,6	57,6	5,0	37,4
3	"	I	43 ^x	3,86	0,572	0,658	1000	77	63,8	13,2	23,0
4	"	I	50 ^x	4,34	0,520	0,603	850	83,4	65,8	17,7	16,6
5	2000	I	30	2,2	0,897	0,898	-	-	-	-	-
6	4000	0,2	133	1,7	I	I	-	-	-	-	-
7	4000	I	45 ^x	3,0	0,741	0,764	2600	56,4	57,4	1,0	41,6
8	10000 ^{xx}	I	53	1,7	I	I	-	-	-	-	-

x) первые фракции образцов ПЭХ (см. табл. I).

xx) полимеризация ВХ при 10000 кг/см² проводилась без добавления ДАК, инициирование осуществлялось перекисными соединениями МА, образующимися при загрузке аппаратуры.

Тьерс на основании данных ЯМР полагают, что полимер, полученный низкотемпературной полимеризацией ВХ, имеет нерегулярное строение, тогда как в некоторых других работах с помощью того же метода доказывается, что образующийся в этих условиях ПВХ содержит повышенное количество синдиотактических звеньев. Следует отметить, что результаты последних работ, полученные методом ЯМР, согласуются с данными ИКС.

Из данных табл. 2 следует также, что степень синдиотактности и кристалличности возрастает с понижением среднего молекулярного веса у нефракционированных образцов ПВХ.

Объяснение этому дано выше.

Влияние давления на кристалличность и стереорегулярность ПВХ

Большой интерес представляет вопрос о влиянии давления на кристалличность и, следовательно, синдиотактность ПВХ. Влияние давления на константу скорости химической реакции, по теории переходного состояния, описывается уравнением Эванса и Поляни:

$$\left(\frac{\partial \ln k}{\partial P}\right)_T = -\frac{\Delta V^\ddagger}{RT} \quad (4)$$

где k - константа скорости химической реакции

ΔV^\ddagger - объёмный эффект активации (разность порционных мольных объёмов активированного комплекса и исходных веществ).

Объёмный эффект активации в гомолитических реакциях присоединения и замещения имеет отрицательную величину и вызывает изменения собственного объёма молекул $\Delta V^\ddagger_{\text{собст.}}$ и изменение свободного объёма $\Delta V^\ddagger_{\text{своб.}}$. Уменьшения собственного объёма реагирующих частиц в процессе активации обусловлено тем, что в активированном комплексе некоторые атомы и атомные группы реагирующих молекул сближаются на расстояния меньшие, чем суммы их ван-дер-Ваальсовых радиусов.

При одновременном протекании двух конкурирующих реакций (например, изотактический и синдиотактический рост цепи при полимеризации виниловых мономеров) с константами скорости K_1 и K_2 из уравнения (4) следует

$$\frac{\partial \ln \frac{K_1}{K_2}}{\partial P} = -\frac{\Delta V^\ddagger_1 - \Delta V^\ddagger_2}{RT} = -\frac{\Delta \Delta V^\ddagger}{RT} \quad (5)$$

Согласно уравнению (5), давление будет в большей степени ускорять ту реакцию, для которой уменьшение объёма при образовании активированного комплекса больше. Если ΔV^\ddagger для синдио- и изо-присоединений при полимеризации виниловых мономеров различаются, то давление будет влиять на стереорегулярность полимеров.

Действительно, некоторыми авторами обнаружено, что полиметилметакрилат и полипропилен, полученные при высоком давлении, содержат повышенное количество изотактических звеньев. Мы исследовали влияние давления на кристалличность и стереорегулярность ПВХ. В таблице 3 приведены результаты исследования полимеризации ВХ в МА при мольном соотношении $\frac{MA}{VX} = 1$ в интервале

давлений от атмосферного до 10000 кг/см² ($t = 50^{\circ}$).

Таблица № 3

Давление кг/см ²	Выход %	\bar{P}_n	$\frac{D_{435}}{D_{475}}$	Степень кристалличности по рентгенограммам
атмосферн.	4-15	28 ± 3	2,8 ± 0,1	высокая
2000	4-15	30 ± 1	2,2 ± 0,1	средняя
4000	2-31	35 ± 5	2,0 ± 0,1	низкая
6000	12-44	39 ± 1	1,95 ± 0,1	низкая
10000	24-37	53 ± 2	1,7 ± 0,1	низкая

Полученные данные свидетельствуют о том, что с повышением давления кристалличность ПВХ существенно понижается и при этом несколько возрастает средняя степень полимеризации. Так, например, в интервале давлений от атмосферного до 10000 кг/см² отношение $\frac{D_{435}}{D_{475}}$ понижается от 2,8 до 1,7, приближаясь для ПВХ, полученного при 10000 кг/см², к величине $\frac{D_{435}}{D_{475}} = 1,5$ для низкокристаллического полимера, полученного полимеризацией в блоке с $\bar{P}_n = 860$. При этом происходит увеличение степени полимеризации всего в два раза. Причина столь сильного понижения степени кристалличности полимера связана, главным образом, с тем, что по мере повышения давления количество аморфной части ПВХ, уходящей в раствор при пересадении полимера, значительно понижается за счёт увеличения его среднего молекулярно-

го веса. Последнее обстоятельство подтверждается сравнением экспериментально найденных \bar{P}_n для полимера, полученного при $\frac{MA}{BX} = 1$, с вычисленными по рассчитанным нами значениям константы передачи цепи (C_n) через MA

Таблица № 4

Давление кг/см ²	\bar{P}_n	
	Экспериментальное	Вычисленное по C_n
атмосферн.	28 ± 3	17.2
2000	30 ± 1	23.9
4000	35 ± 5	29.4

Помимо указанной причины, понижение кристалличности ПВХ с повышением давления может быть также связано с увеличением доли изотактических звеньев в полимере вследствие различия объёмов активированного комплекса для изо- и синдио-присоединений, как и в случае полимеризации метилметакрилата и пропилена. Можно было полагать, что применение метода Гермара даст возможность количественно определить степень синдиотактичности для полимеров, полученных при высоких давлениях. Однако в этом случае, оказывается нельзя рассчитать величину α . Отношение $\frac{\lambda_1 + 1}{\lambda_2 + 1}$ для образцов ПВХ, полученных при высоких давлениях, равно единице, что отвечает большому значению ΔE . (Так, например, при $\Delta E = 5$ ккал/моль правая часть уравнения отличается от единицы всего на $7 \cdot 10^{-4}$). В этом случае $N_2 + N_3 = N_3$,

т.е. 50% всех звеньев ПВХ имеют синдиотактическое строение с конформацией S_1 . Другие 50% звеньев распределяются между S_1 и S_2 конформациями. Атактические низкокристаллические образцы ПВХ, полученные при атмосферном давлении, содержат конформацию S_2 в количестве $\sim 1\%$, вследствие высокой разницы в ΔE для S_1 и S_2 конформаций. Можно считать, что атактические низкокристаллические образцы ПВХ, полученные при высоких давлениях и имеющие высокое значение ΔE , также содержат конформацию S_2 в количестве, не превышающем $\sim 1\%$. Следовательно, в ПВХ, полученном при высоких давлениях, содержится повышенное количество изо-звеньев. Действительно, как видно из таблицы № 2, кристаллическая фракция ПВХ, полученного при 4000 кг/см² (обр.7, табл.2), содержит 1% S_2 -конформации. Более того, сравнение этой фракции с полимером повышенной кристалличности, полученном при атмосферном давлении (обр.2 табл.2), свидетельствует, что при одинаковом количестве S_1 конформации полимер, полученный при 4000 кг/см², содержит на 4% больше изотактических звеньев.

Изотактический рост цепи для ПВХ, как и для полиметилметакрилата, требует спиральной конформации радикала и строго ориентированного подхода молекулы мономера. Большая абсолютная (отрицательная) величина ΔV^\ddagger для изотактического роста у полиметилметакрилата, по мнению Уила, связана с большим понижением энтропии в переходном состоянии. Вероятно это суждение справедливо и для ПВХ.

Для оценки влияния давления на кристалличность ПВХ необходимо сравнить образцы полимера с одинаковыми и достаточно

большими значениями \bar{P}_n , чтобы исключить эффект фракционирования при выделении полимера (табл.5).

Таблица № 5

Давление кг/см ²	\bar{P}_n	$\frac{D_{415}}{D_{615}}$
атмосферн.	55	1.95
10000	55	1.7
атмосферн.	132	1.95
4000	133	1.7

Как видно из приведенных данных, повышение давления при радикальной полимеризации ВХ приводит к небольшому понижению кристалличности ПВХ. Это связано, очевидно, с некоторым уменьшением доли синдиотактических звеньев. Отметим, наконец, что в ПВХ, полученном при высоком давлении можно ожидать увеличения доли присоединения "голова к голове", что показано нами ниже на примере полимеризации винилацетата. Тогда понижение кристалличности ПВХ, полученного при высоких давлениях, может быть, в частности, связано также с некоторым увеличением доли присоединения "голова к голове".

Изучение влияния давления на константу передачи цепи через МА при полимеризации ВХ

Ранее в нашей лаборатории было найдено, что отношение

константы скорости передачи цепи через МА (K_n) к константе скорости роста (K_p) ($\frac{K_n}{K_p} = C_n$ - константа передачи цепи) при полимеризации стирола, метилметакрилата и винилацетата различным образом зависит от давления. Так, при полимеризации стирола в МА с повышением давления константа передачи цепи (C_n) сильно уменьшается, а при полимеризации метилметакрилата и винилацетата она уменьшается гораздо слабее.

В этой связи большой интерес представляет вопрос о влиянии давления на константу передачи цепи при полимеризации ВХ в МА. На рис. 3 приведена зависимость величины обратной средней степени полимеризации ($\frac{1}{P_n}$) ПЕХ от мольного отношения $\frac{MA}{BX}$ при различных давлениях.

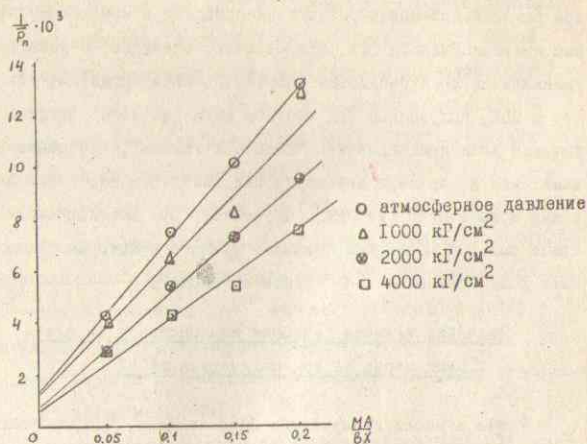


Рис. 3. Зависимость $\frac{1}{P_n}$ от мольного отношения $\frac{MA}{BX}$ при полимеризации ВХ

Вычисленные по рис. 3 значения константы передачи цепи в интервале давлений от атмосферного до 4000 кг/см² приведены в таблице № 6.

Таблица № 6

Значения C_n при полимеризации ВХ в МА

Давление кг/см ²	$C_n \cdot 10^5$
атмосферное	5800
1000	5000
2000	4200
4000	3500

Как видно из полученных данных, давление оказывает сравнительно небольшое влияние на величину константы передачи цепи через МА при полимеризации ВХ. Вычисленная из зависимости " $\lg \frac{1}{C_n}$ от давления" величина $\Delta V_p^{\ddagger} - \Delta V_n^{\ddagger}$, равная $-3,8 \frac{cm^3}{mole}$ при атмосферном давлении сопоставлена (табл. 7) с соответствующими величинами, полученными при полимеризации стирола, метилметакрилата и винилацетата в том же интервале давлений.

Таблица № 7

Зависимость разности объёмных эффектов активации передачи и роста цепи при полимеризации некоторых виниловых мономеров

Мономер	$\Delta V_n^{\ddagger} - \Delta V_p^{\ddagger}$
Стирол (Ст.)	15,0
Метилметакрилат (ММА)	6,6
Винилхлорид (ВХ)	3,8
Винилацетат (ВА)	3,3

Известно, что радикалы, образованные этими мономерами, располагаются по убыванию активности следующим образом: $BA > VX > MMA > St$. Таким образом можно полагать, что уменьшение константы передачи через MA при полимеризации виниловых мономеров определяется главным образом активностью полимерного радикала.

Влияние давления на соотношение типов присоединения "голова к голове" и "голова к хвосту" при полимеризации винилацетата

При полимеризации виниловых мономеров присоединение по типу "голова к голове" происходит значительно реже, чем по типу "голова к хвосту". Известно, что в поливинилацетате доля присоединения "голова к голове" составляет 1-2% от общего числа присоединений. Метод определения доли звеньев "голова к голове" в молекуле поливинилацетата, разработанный Флори и Лейтнером, состоит в превращении поливинилацетата в поливиниловый спирт и последующей деградации поливинилового спирта йодной кислотой, разрывающей связи между соседними атомами углерода, каждый из которых связан с гидроксильной группой. Определяя молекулярные веса поливинилового спирта до и после деградации, находят долю (δ) присоединения по типу "голова к голове". Данные о зависимости отношения этих типов присоединения от давления в литературе отсутствуют.

Можно было предполагать, что присоединение по типу "голова к голове" пространственно более затруднено по сравнению с

присоединением по типу "голова к хвосту". В связи с этим представляло интерес исследовать влияние высокого давления на соотношение этих типов присоединения, так как согласно выводам сделанным ранее в нашей лаборатории, чем более пространственно затруднена химическая реакция, тем в большей степени она ускоряется давлением. Нами было изучено влияние давления от атмосферного до 6000 кг/см^2 на соотношение указанных типов присоединения при полимеризации винилацетата в ацетоне при 40° . Результаты этого исследования приведены в таблице № 8.

Из данных таблицы № 8 следует, что повышение давления от атмосферного до 6000 кг/см^2 при полимеризации винилацетата привело к увеличению доли звеньев "голова к голове" на 22% (отн.), причём этот эффект оказался не зависящим от концентрации винилацетата в растворе ацетона. Скорость полимеризации возрастала примерно в 3 и 7 раз при повышении давления от атмосферного до 2000 и 4000 кг/см^2 соответственно. Из наклона касательной к полученной кривой $\lg \frac{\delta_p}{\delta_1}$ (где индексы P и I относятся к давлению P и к атмосферному давлению) против давления" при $P=I$ атм. была вычислена величина $\Delta \Delta V^\ddagger$, которая оказалась равной $-2,2 \frac{\text{см}^3}{\text{моль}}$. Таким образом при присоединении "голова к голове" активированный комплекс имеет несколько меньший объём, чем при присоединении "голова к хвосту".

Мы сопоставили экспериментально найденное значение с расчётным, вычисленным по моделям активированных комплексов для реакции присоединения "голова к голове" и "голова к хвосту".

Таблица № 8

Радикальная полимеризация винилацетата в растворе ацетона (40° , ДАК=7,8-8,9.10⁻³ мол/л).

Давление кг/см ²	Ацетон: винилацетат (мольн.)	Степень превраще- ния %	Средний молекулярный вес $\bar{M} \times 10^{-2}$		$\delta \times 100$
			до дегра- дации	после деграда- ции	
Атмосферн.	2.00	28.0	252.0	69.6	0.87
	0.74	16.0	344.2	68.6	0.96
	0.297	18.5	790.0	77.1 77.2	0.97 0.97
1000	0.297	23.5	864.6	72.1	1.05
				77.2	0.98
2000	0.74	9.3	401.5	64.5	1.08
	0.297	11.1	905.3	73.7 74.3	1.03 1.03
4000	2.00	25.0	275.2	59.0	1.10
	0.74	9.8	457.0	65.9	1.08
	0.297	12.8	925.5	68.8 69.3	1.11 1.11
6000	2.00	21.0	298.5	59.0	1.13
	0.74	12.3	475.0	63.7	1.13
	0.297	13.8	946.2	68.0 63.7	1.14 1.22

x - параллельные определения молекулярного веса.

На этих моделях атомы углерода, образующие новую связь, имеют тетраэдрическую конфигурацию, а атом углерода, несущий веспаренный электрон, характеризуется плоской конфигурацией. При расчётах принималось, что удлинение любой связи при активации составляет 10% от ее нормальной длины и не учитывалась возможная деформация валентных углов в активированном комплексе. При построении модели активированного комплекса мы стремились расположить полимерный радикал и молекулу мономера друг относительно друга таким образом, чтобы перекрывание ван-дер-ваальсовых сфер несвязывающихся атомов было минимальным. Для вычисления ($\Delta V^*_{\text{собств.}})_1$ и ($\Delta V^*_{\text{собств.}})_2$ (где индексы 1 и 2 относятся к присоединению "голова к хвосту" и "голова к голове" соответственно) был применен аналитический метод расчёта, предложенный ранее Злыновым. Результаты этого расчёта:

$$(\Delta V^*_{\text{собств.}})_1 = -11,82 \frac{\text{см}^3}{\text{МОЛЬ}}$$

$$(\Delta V^*_{\text{собств.}})_2 = -13,0 \frac{\text{см}^3}{\text{МОЛЬ}} \quad \text{отсюда}$$

$$\Delta \Delta V^*_{\text{расч.}} = -1,18 \frac{\text{см}^3}{\text{МОЛЬ}}$$

Таким образом при присоединении "голова к голове" вычисленный нами собственный объём активированного комплекса приблизительно на $1,2 \frac{\text{см}^3}{\text{МОЛЬ}}$ меньше, чем при присоединении "голова к хвосту". Эта величина весьма незначительна и совпадает по знаку с экспериментально найденным значением $\Delta \Delta V^*$. Определенную путём приближенного расчёта величину $\Delta V^*_{\text{собств.}}$ для преобладающего присоединения "голова к хвосту" ($-11,8 \frac{\text{см}^3}{\text{МОЛЬ}}$) можно сопоставить со значением ΔV^* для реакции

роста цепи, вычисленным по данным о величине "усадки" при полимеризации винилацетата. Как известно усадка при полимеризации равна изменению объёма при димеризации мономерной молекулы; таким образом, ее можно приближенно рассматривать как объёмный эффект реакции присоединения винилацетатного радикала к молекуле мономера. Некоторыми авторами показано, что при 40° и атмосферном давлении усадка равна 22 см³/моль. Если принять, что в активированном комплексе расстояние между химически связывающимися атомами углерода на 10-30% больше длины химической связи и считать объёмный эффект активации пропорциональным изменению расстояния между реагирующими атомами, то ожидаемая величина ΔV^\ddagger составит от -17 до -20 см³/моль. Таким образом, видно, что объёмный эффект активации по своей величине почти вдвое превышает значение $\Delta V^\ddagger_{\text{собст.}}$ вычисленное по модели активированного комплекса. Это свидетельствует о значительной роли изменения свободного объёма $\Delta V^\ddagger_{\text{своб.}}$ в общем объёмном эффекте активации реакции роста цепи при полимеризации винилацетата.

ВЫВОДЫ

I. Изучено образование кристаллического низкомолекулярного поливинилхлорида при радикальной полимеризации в масляном альдегиде и тетрагидрофуране при атмосферном и высоком давлении. Найдено, что в указанных условиях происходит увеличение доли кристаллической фракции по мере уменьшения молекулярного веса полимера. Показано, что при выделении низкомолекулярного

ПВХ путём пересадки, в результате большей растворимости аморфной части полимера по сравнению с кристаллической, происходит фракционирование, приводящее к обогащению выделенного полимера кристаллической частью.

2. По данным ИК-спектроскопии, кристалличность низкомолекулярного ПВХ обусловлена преобладанием синдиотактических звеньев в полимере.

3. Уменьшение кристалличности (и синдиотактичности) ПВХ с повышением давления связано не только с увеличением молекулярного веса, приводящим к понижению доли кристаллической части выделяемого полимера, но, по-видимому, также с большим объёмом переходного состояния при синдио-присоединении.

4. Найдена линейная зависимость между степенью синдиотактичности α и мерой кристалличности $-\frac{D_{635}}{D_{693}}$. (в интервале значений $\frac{D_{635}}{D_{693}}$ от 1,9 до 4,3), для ПВХ, полученного при атмосферном давлении. Указанная зависимость может служить в качестве нормировочного графика для оценки величины α по $\frac{D_{635}}{D_{693}}$.

5. Изучено влияние давления до 4000 кг/см² на величину константы передачи через масляный альдегид при полимеризации ВХ. Найдено, что объём переходного состояния при передаче цепи на 3,8 $\frac{\text{см}^3}{\text{МОЛЕ}}$ больше, чем при росте цепи. Сделан вывод, что зависимость от давления константы передачи через масляный альдегид при полимеризации виниловых мономеров определяется главным образом активностью полимерного радикала.

6. Исследовано влияние давления на соотношение типов присоединения "голова к голове" и "голова к хвосту" при полимеризации винилацетата. Повышение давления до 6000 кг/см²

приводит к увеличению доли более пространственно затрудненного присоединения "голова к голове" на 22% отн., что отвечает разности объёмных эффектов активации этих типов присоединения равной $-2,2 \frac{\text{см}^3}{\text{моль}}$.

7. Выполнен приближенный расчёт "объёмов перекрывания" по моделям активированных комплексов для присоединения "голова к голове" и "голова к хвосту" при полимеризации винилацетата. Найденная таким образом величина разности объёмных эффектов этих типов присоединения, равная $-1,2 \frac{\text{см}^3}{\text{моль}}$, удовлетворительно согласуется с результатами эксперимента.

Таким образом подтверждено, что приближенный расчёт "объёмов перекрывания" по моделям активированных комплексов даёт возможность сопоставить пространственную затрудненность различных направлений гомолитической реакции и оценить перспективы влияния давления на ее структурную направленность.

8. Полученные в работе данные подтверждают положение, что высокое давление при радикальной полимеризации может заметно влиять не только на ее скорость и молекулярный вес, но и на структуру образующихся полимеров.

Основной материал диссертации опубликован в следующих статьях:

1. В.М.Жулин, М.Г.Гоникберг, А.Л.Гофф, Высокомолек. соед. 9А, 803 (1967).
2. А.Л.Гофф, В.М.Жулин, М.Г.Гоникберг, ДАН, 176, 1302 (1967).
3. А.Л.Гофф, И.П.Яковлев, В.М.Жулин, М.Г.Гоникберг, Высоко-

молек.соед. (в печати).

4. В.М.Жулин, М.Г.Гоникберг, А.Л.Гофф, В.Н.Загорбинина. Высокомолек.соед. (в печати).